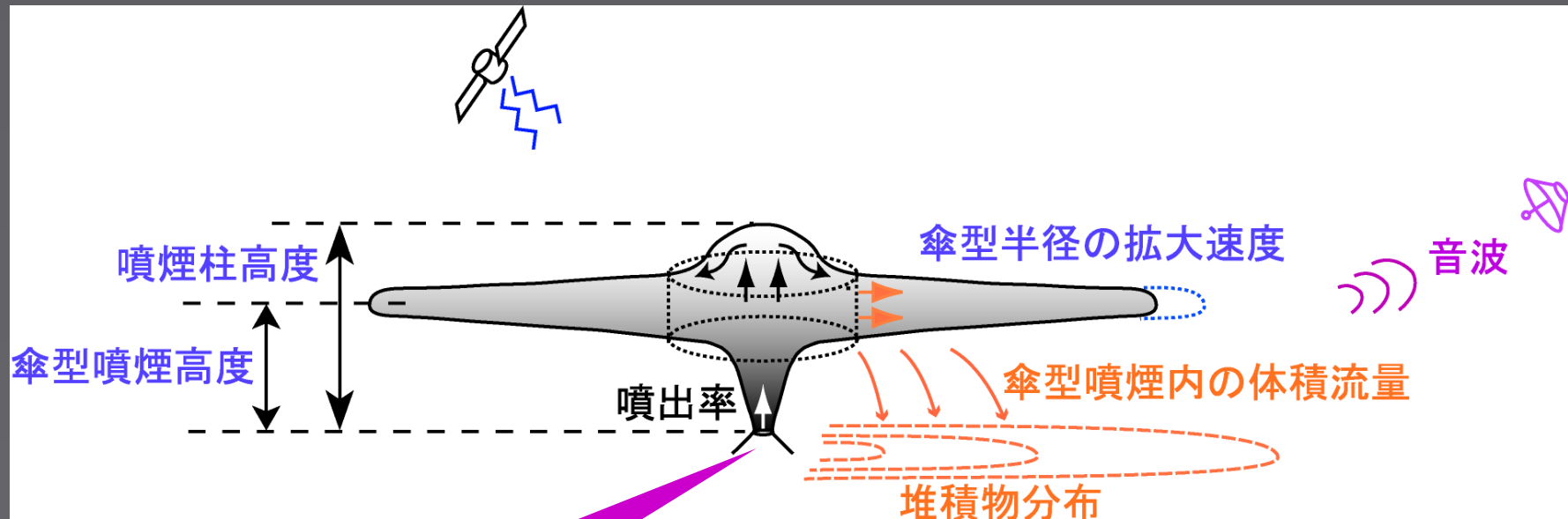


3次元シミュレーションによる 2014年Kelud火山噴火の再現

鈴木雄治郎¹・井口正人²・前野深¹・中田節也¹
橋本明弘³・新堀敏基³・石井憲介³
(¹地震研, ²京大, ³気象研)

目的:爆発的噴火現象の定量的理解

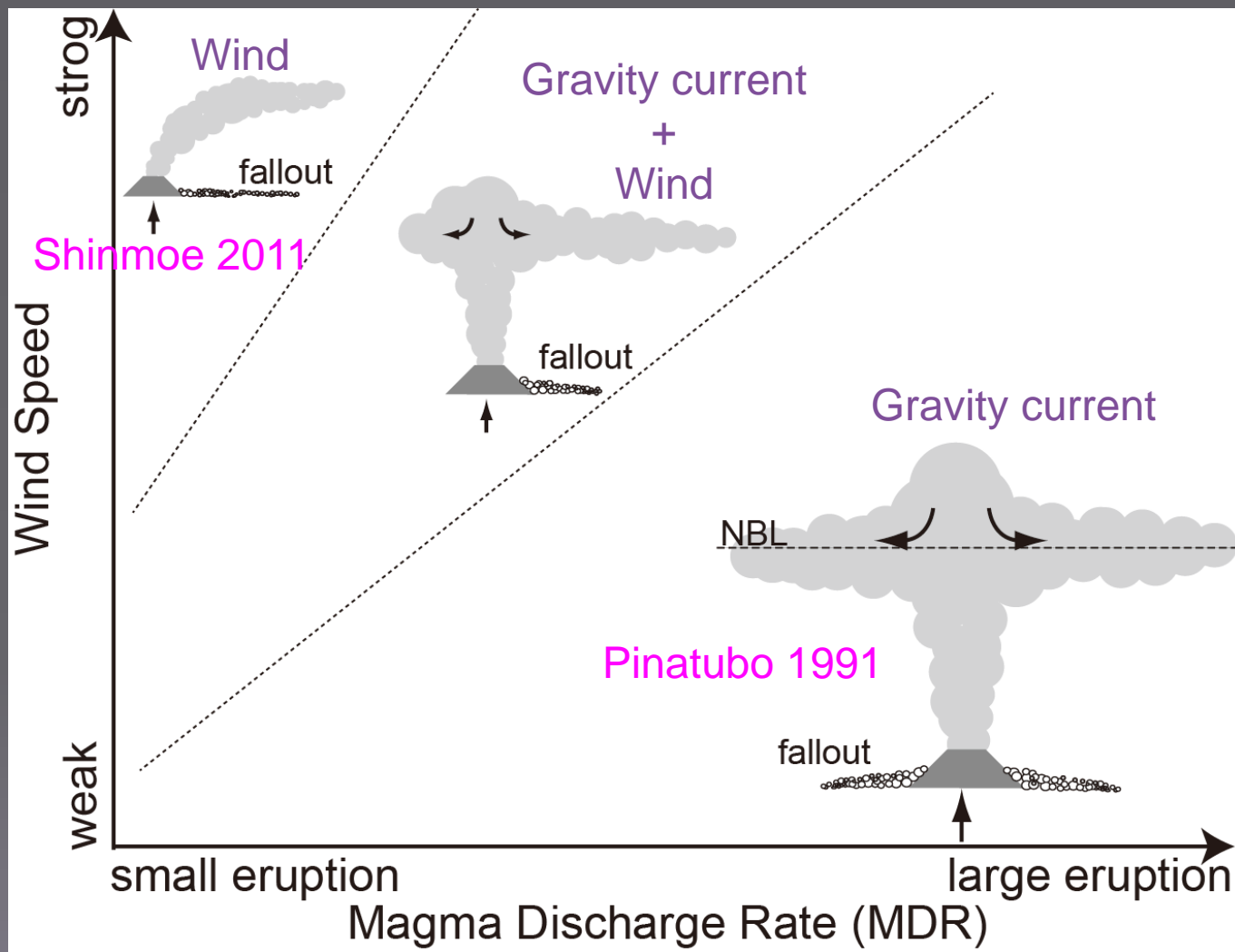


噴出率
噴出速度
火口半径
噴出温度 etc.

噴出・大気条件 ⇄ 観測量
様々な観測データを整合的に
説明できる噴出・大気条件を探す。

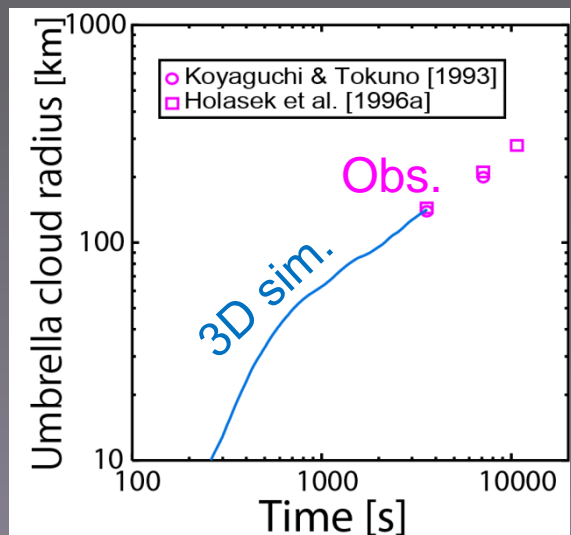
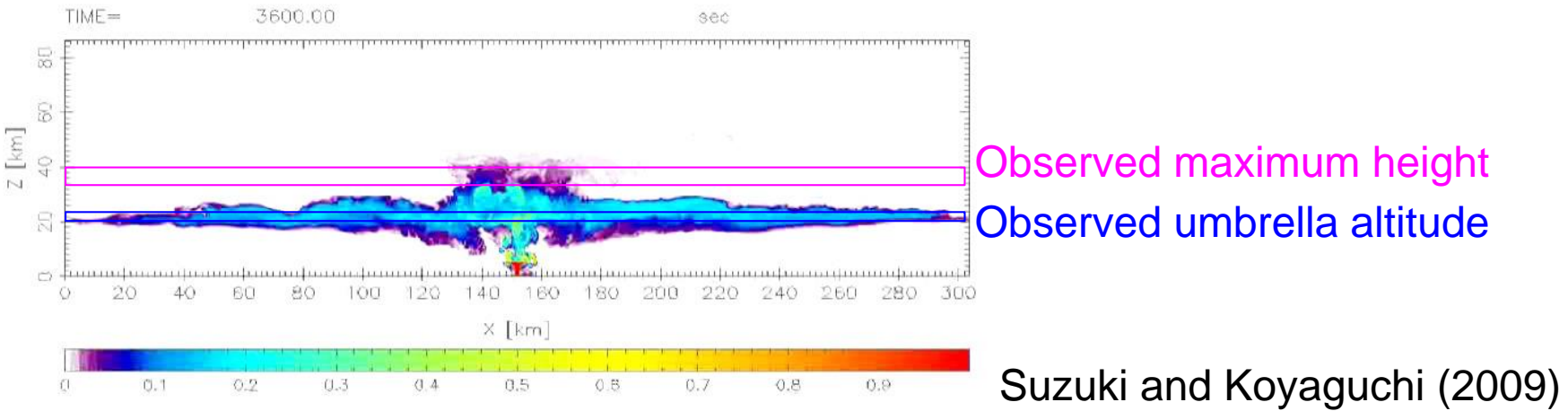
→ 噴出率・風が支配要因

噴煙挙動の支配要因



Pinatubo 1991 Eruption

Distribution of mass fraction of magma in cross-section



- * plume height
- * neutral buoyancy level
- * umbrella cloud radius

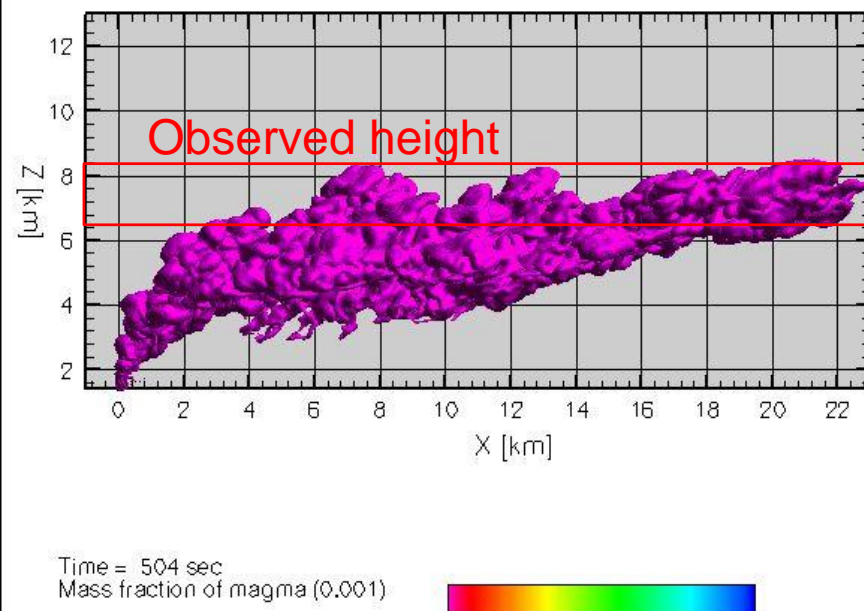
$MDR = 1.0 \times 10^9 \text{ kg s}^{-1}$

・噴出物総量/噴火継続時間
から求めた噴出率と整合的

Shinmoe-dake 2011 Eruption

Suzuki and Koyaguchi (2013)

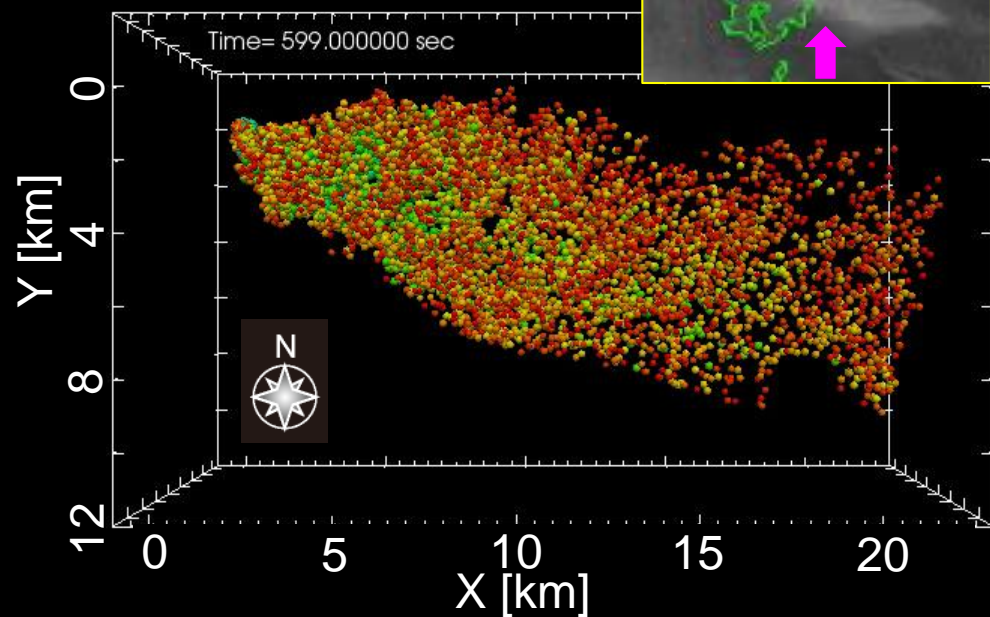
Iso-surface of mass fraction



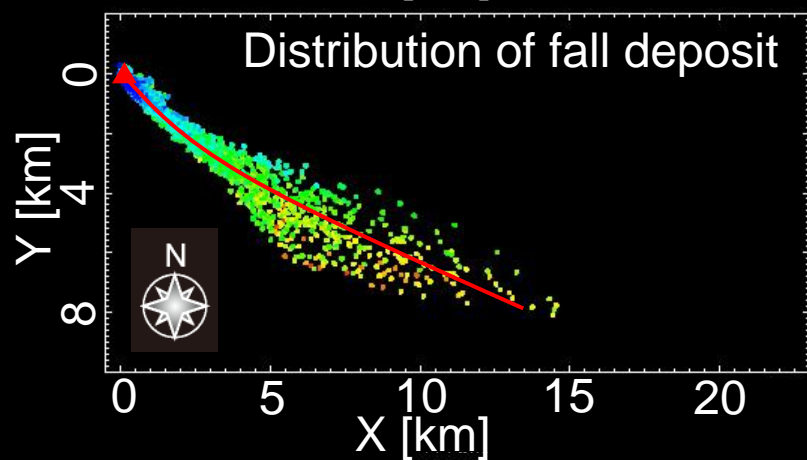
$$MDR = 1.5 \times 10^6 \text{ kg s}^{-1}$$

- ・噴出物総量/噴火継続時間
- ・傾斜変動 + 測地データ
から求めた噴出率と整合的

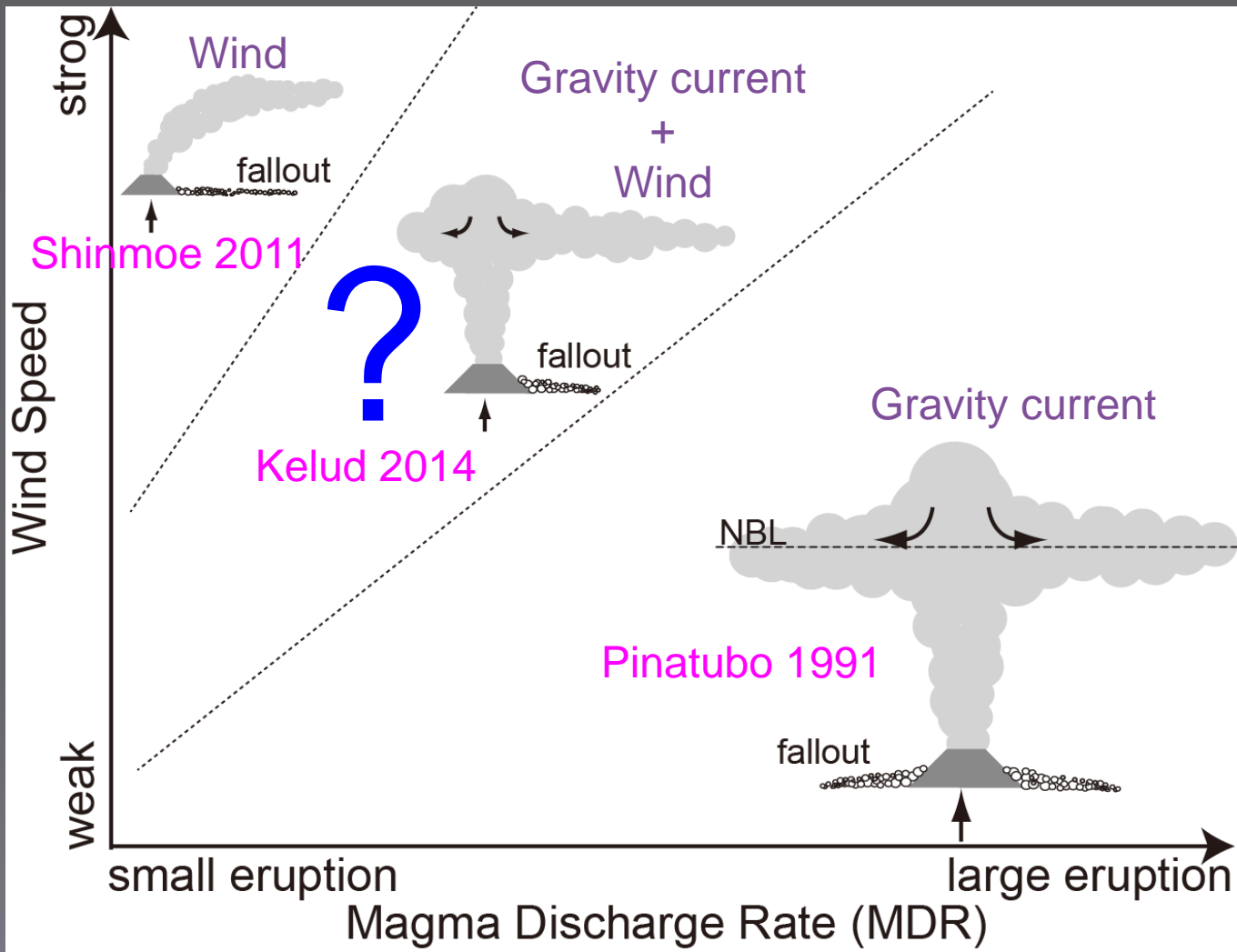
Top view of particle motion



Distribution of fall deposit



噴煙挙動の支配要因



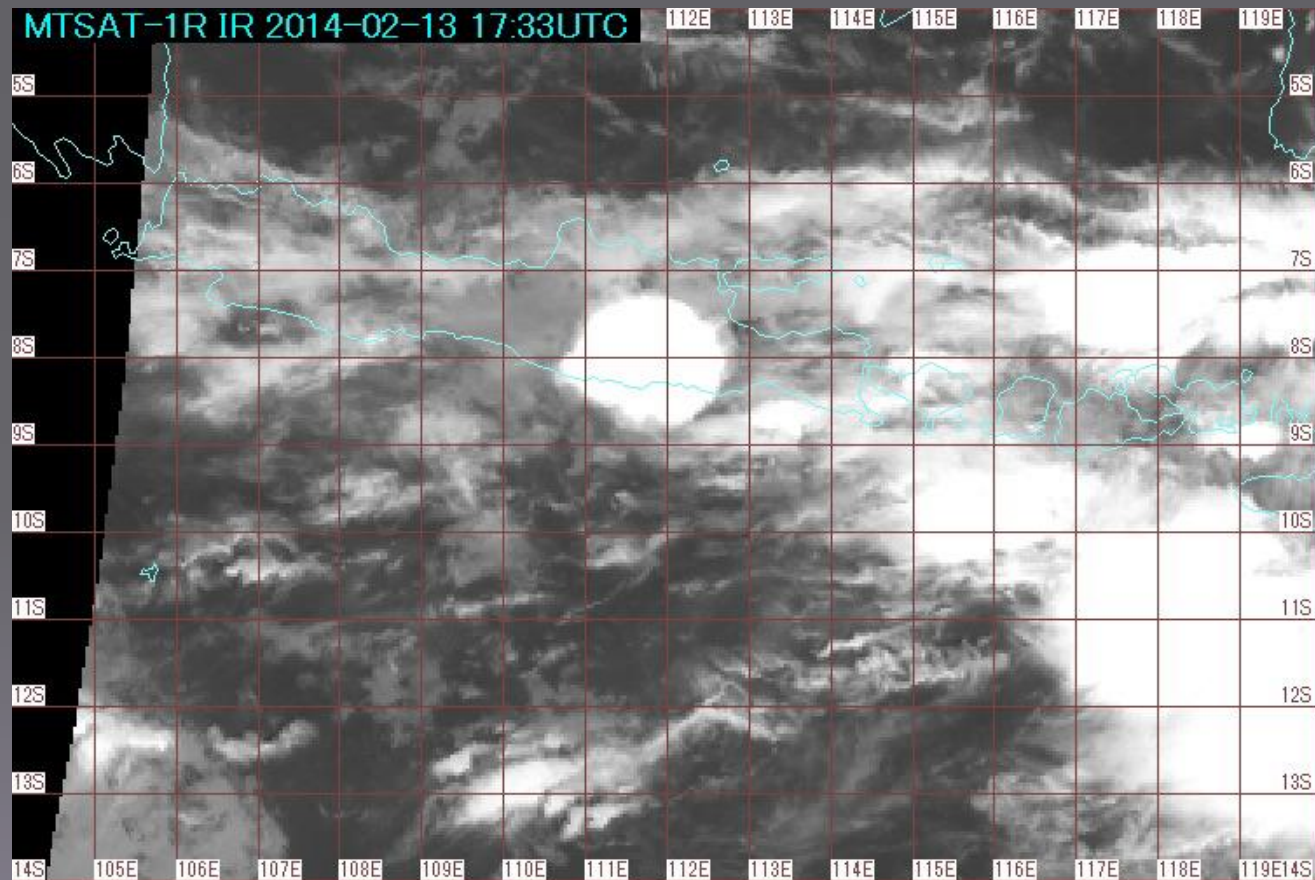
非対称性の強いと思われる中間状態の
噴煙挙動の理解を目指す

Kelud 2014 Eruption

インドネシア・ジャワ島東部

2/13 15:45UTC頃から爆発的噴火開始

16:00過ぎから18・19時頃まで強い噴煙放出

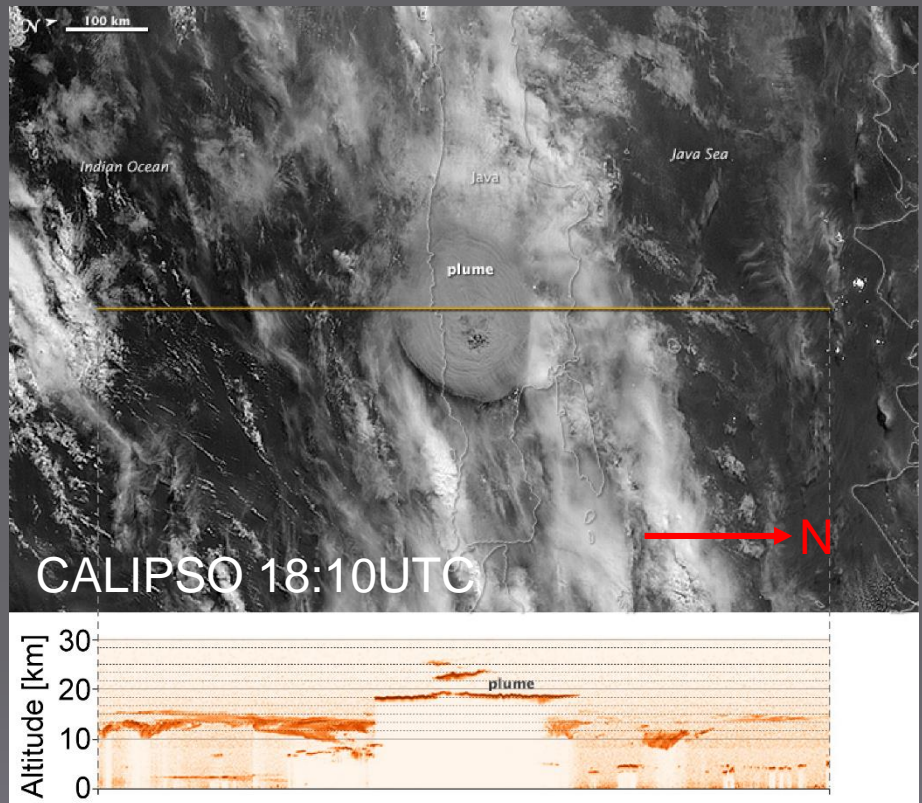


MTSAT rapid scan (infrared imagery)

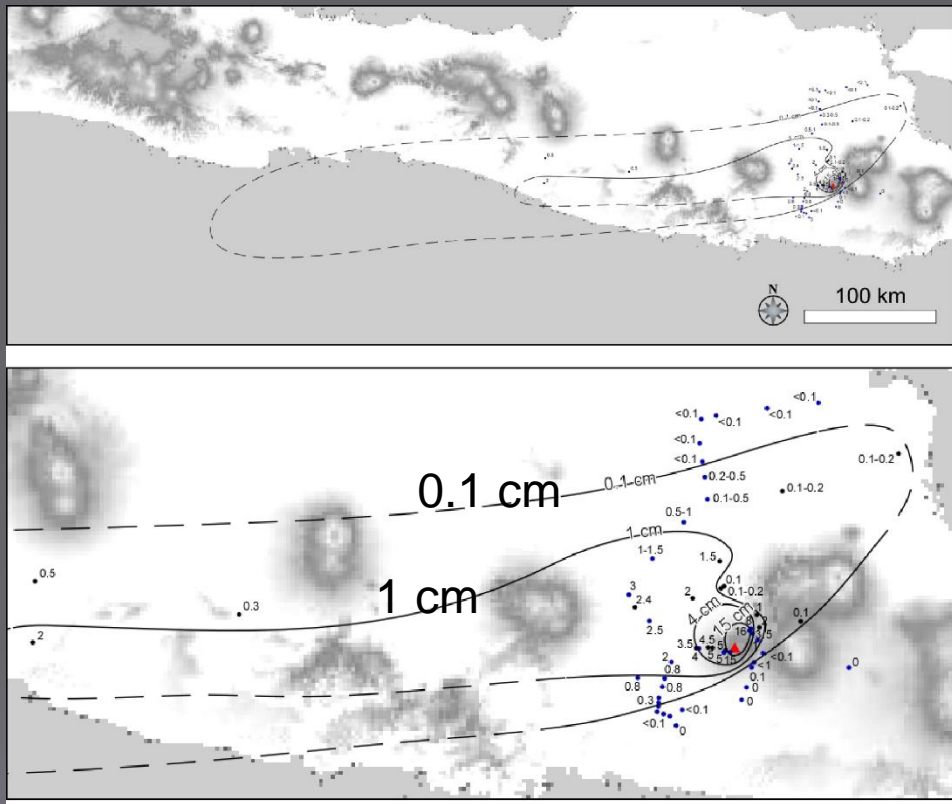
Observed data of Kelud Eruption

噴煙高度・傘型半径

堆積物分布



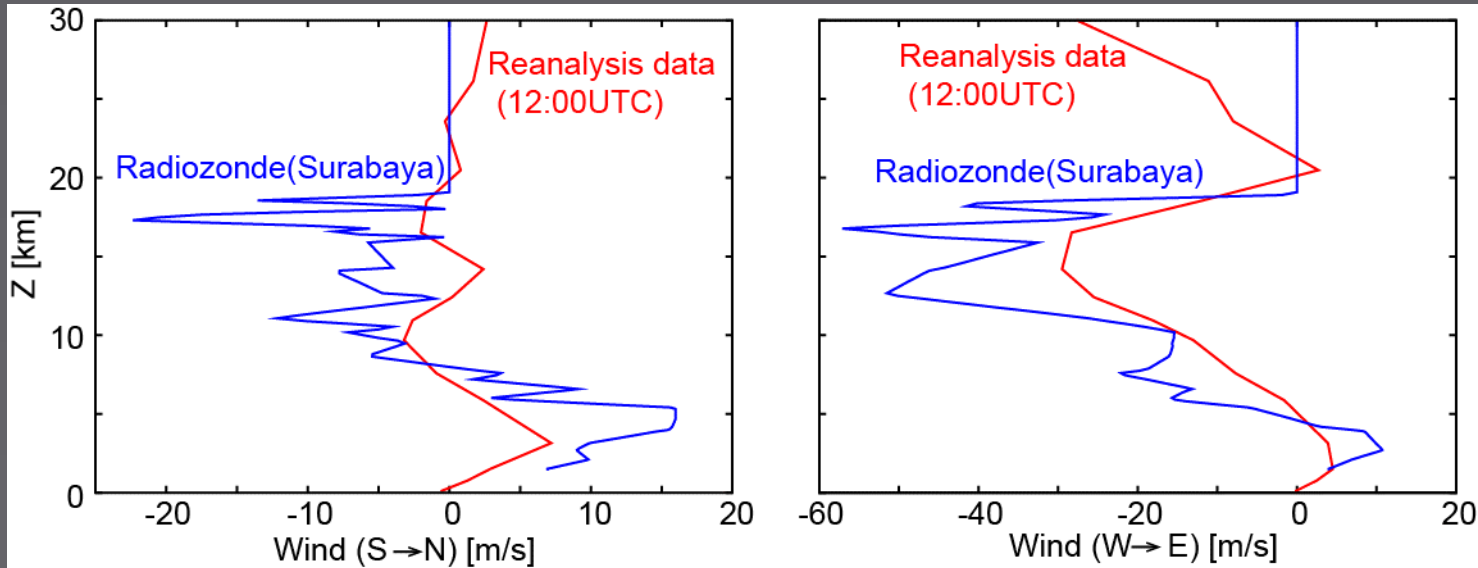
傘型部: 17-18 km asl.
中心部: 22-30 km asl.



主に西側に堆積
北・北東側にも少量の堆積
総体積 $0.3 - 0.4 \text{ km}^3$
 $MDR = 4 - 6 \times 10^7 \text{ kg s}^{-1}$

Simulation Setting

Wind profiles



Magma temperature: 1273 K

Volatile content: 5 wt%

Exit velocity: 170 m/s

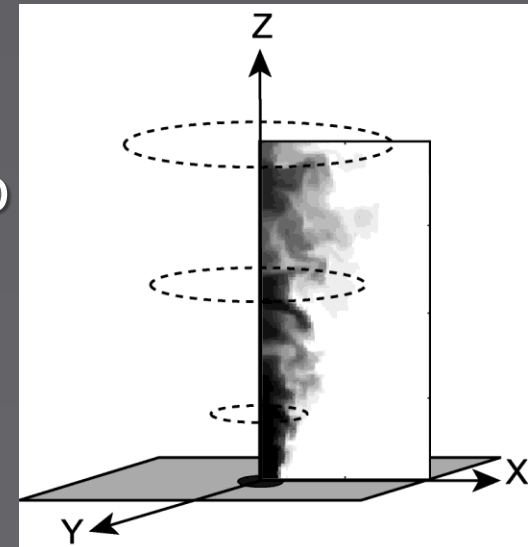
Altitude of vent: 1500 m

<i>MDR</i>	Atmosphere
Case 1: $4 \times 10^7 \text{ kg s}^{-1}$	Radiozonde
Case 2: $6 \times 10^7 \text{ kg s}^{-1}$	Radiozonde
Case 3: $6 \times 10^7 \text{ kg s}^{-1}$	Reanalysis

3D Numerical Model

Fluid motion: pseudo-gas model [Suzuki et al., 2005]

- the mixture of gas phases and pyroclasts is treated as a single gas
 - mixture density is calculated from mixing ratio



Particle motion: Lagrangian model

- Lagrangian marker particles of ideal sphere
 - 200 or 300 particles per second.
 - Grain sizes are randomly selected within 0.0625 – 64 mm
 - Terminal velocity (4ϕ) (-6ϕ)

$$V_t = \frac{g\sigma d^2}{18\mu} , \quad V_t = d \left(\frac{4d^2\sigma^2}{225\mu\rho_a} \right)^{1/3} , \quad V_t = \left(\frac{3.1g\sigma d}{\rho_a} \right)^2$$

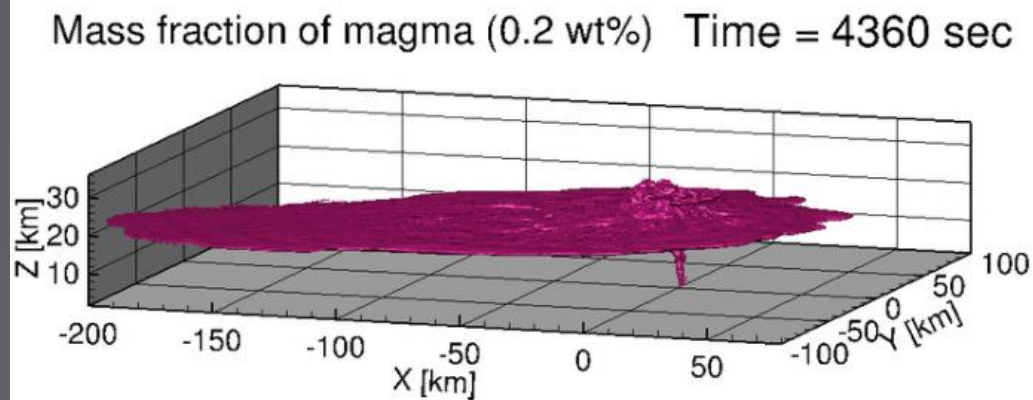
(Re < 6) (6 < Re < 500) (Re > 500)

Representative Results

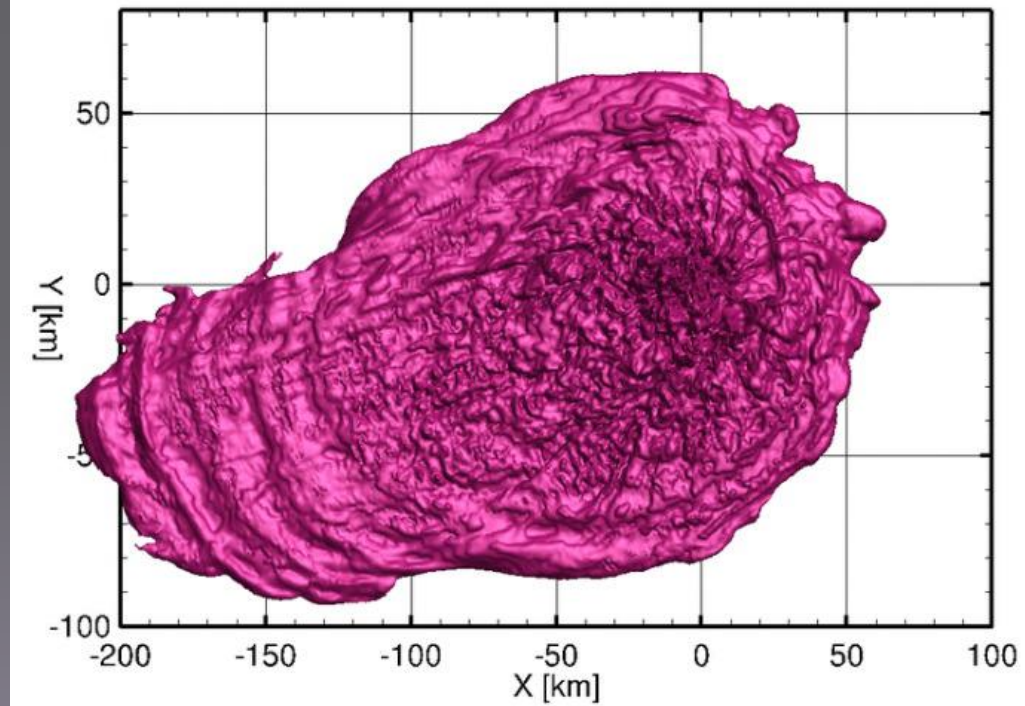
Case 1

$MDR: 4 \times 10^7 \text{ kg s}^{-1}$

ATM: Radiozonde



Mass fraction of magma (0.2 wt%) Time = 4360 sec

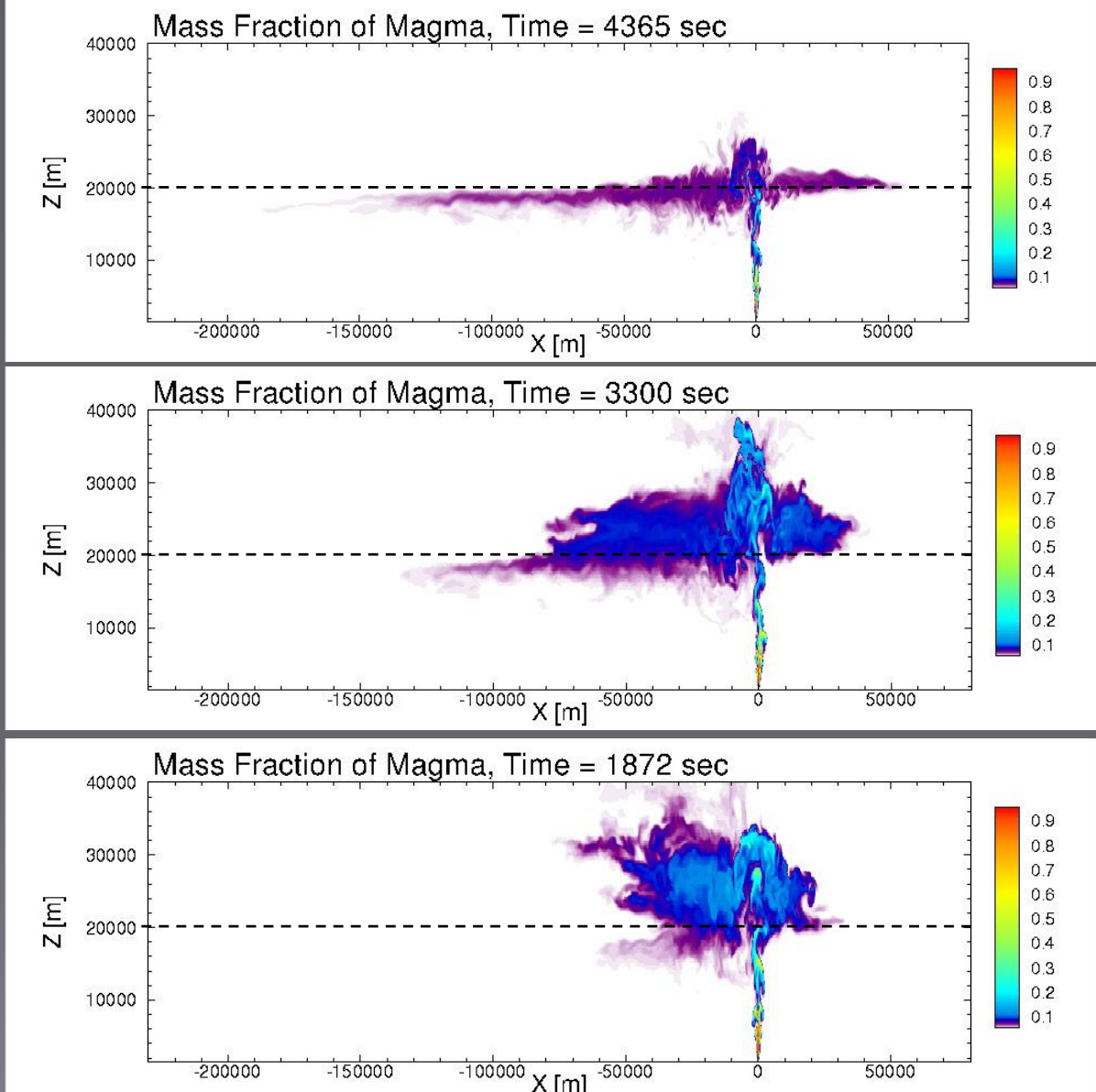


Plume Heights

Case 1

$MDR: 4 \times 10^7 \text{ kg s}^{-1}$

ATM: Radiozonde



Case 2

$MDR: 6 \times 10^7 \text{ kg s}^{-1}$

ATM: Radiozonde

Case 3

$MDR: 6 \times 10^7 \text{ kg s}^{-1}$

ATM: Reanalysis

風速の大きい高度17-18kmで傘型噴煙が卓越

Fall Deposits

Case 1

MDR: $4 \times 10^7 \text{ kg s}^{-1}$

ATM: Radiozonde

Case 2

MDR: $6 \times 10^7 \text{ kg s}^{-1}$

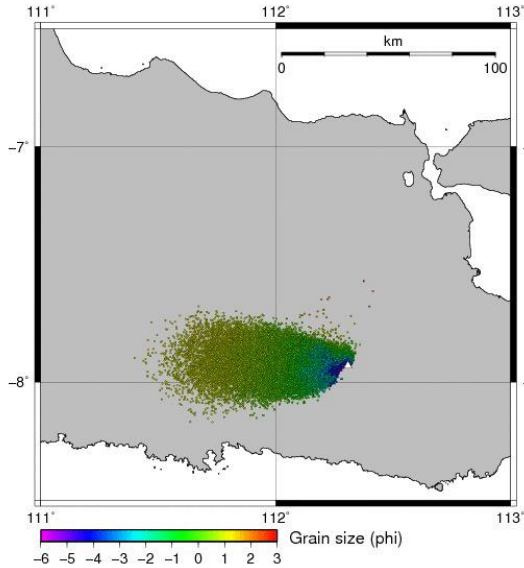
ATM: Radiozonde

Case 3

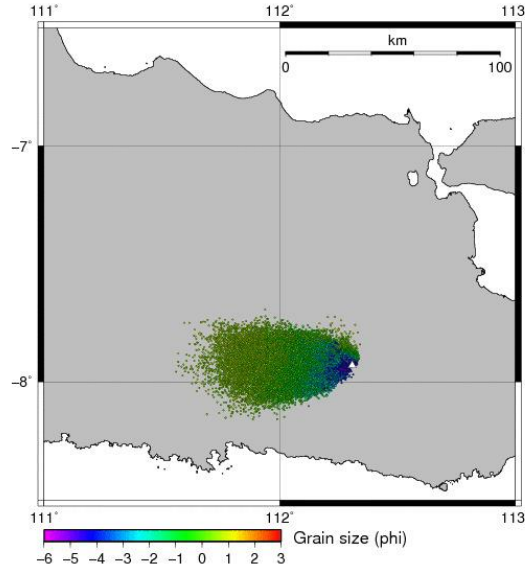
MDR: $6 \times 10^7 \text{ kg s}^{-1}$

ATM: Reanalysis

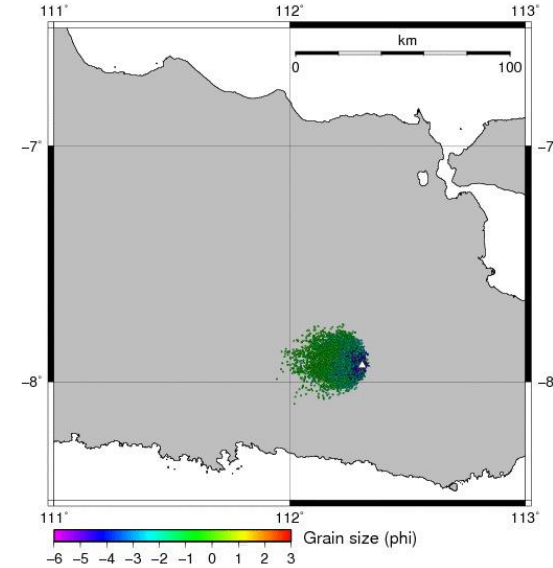
Fall deposits
01 h 12 m 40 s



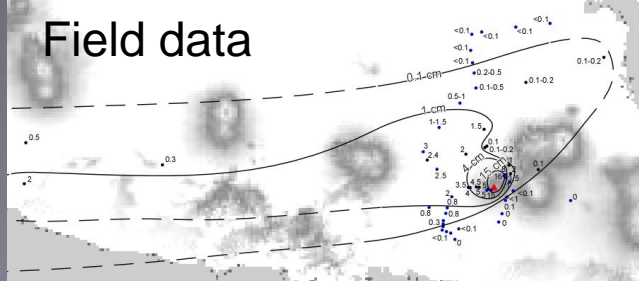
Fall deposits
00 h 55 m 00 s



Fall deposits
00 h 31 m 10 s



Field data

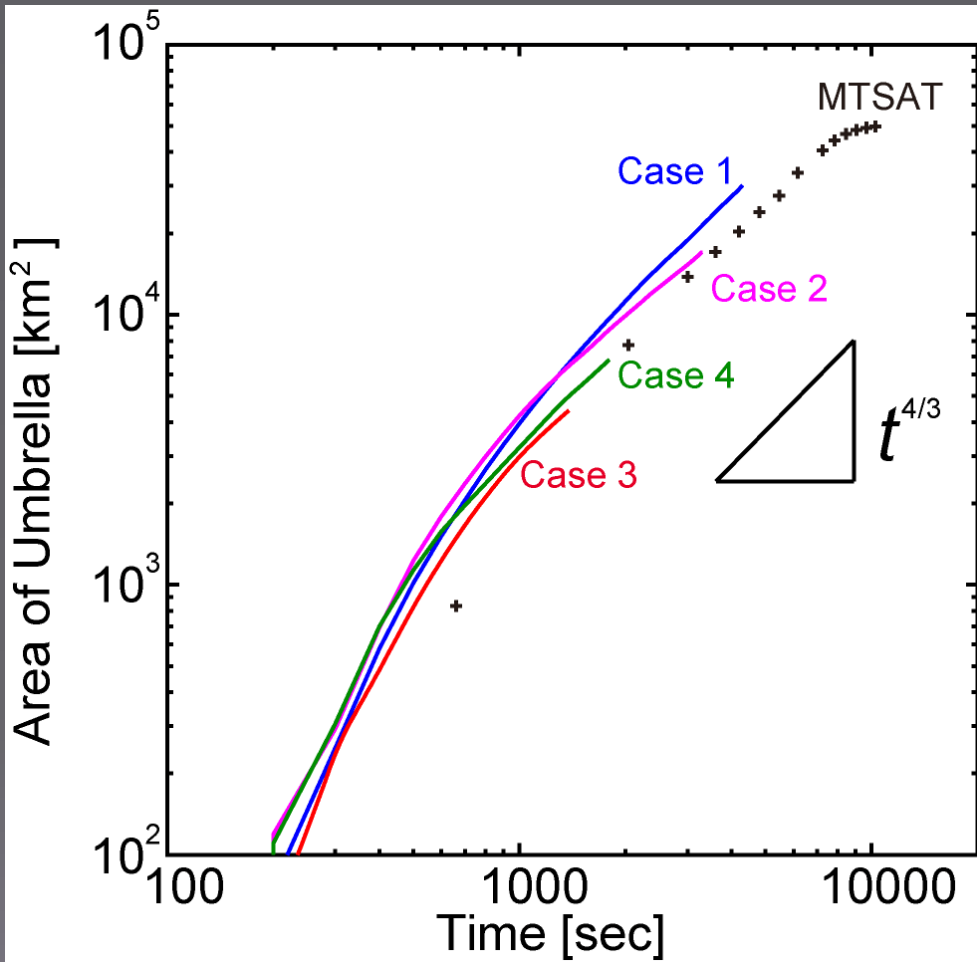


主に火山より西に堆積

北側・北東側にはほぼ堆積しない

→ 実際には噴煙高度が低いフェーズが存在した可能性
を示唆。後半の火碎流からの灰神楽か

Expansion of Umbrella Cloud



傘型噴煙の水平面積Sの拡大率

Observation: ~4/3

Case 1: ~ 4/3

Case 2: < 4/3

Case 3: < 4/3

◎Simple model of umbrella cloud
: Gravity current model

[Sparks et al., 1998]

$$S = \left[\frac{3\lambda N V_U}{2\pi} \right]^{\frac{1}{3}} t^{\frac{4}{3}}$$

S: Area of umbrella

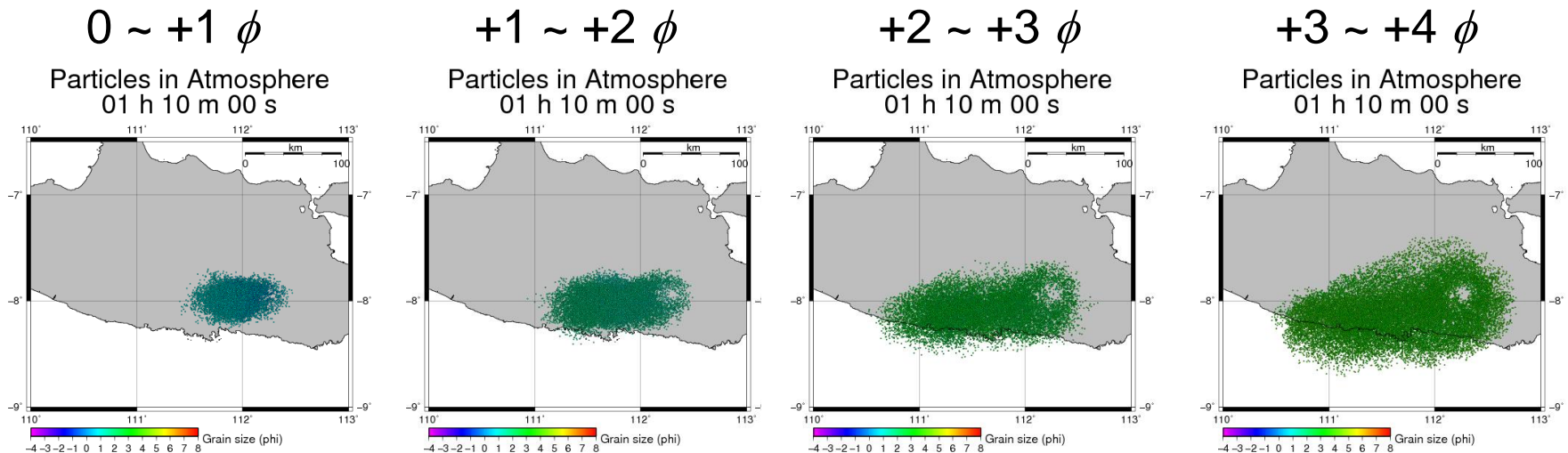
N: Brant-Vaisala frequency

V_U: volumetric flow rate

t : time

粒子サイズ毎にみた噴煙拡大

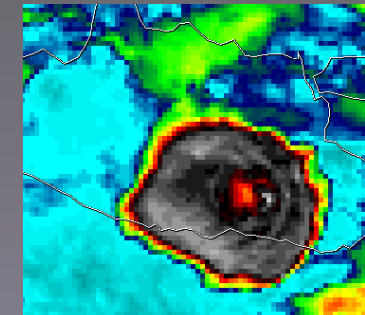
3D results



傘型面積
3D計算結果 > 人工衛星画像

- ・衛星画像で見えている粒子サイズ・粒子濃度
- ・計算で用いている圏界面の風速が大きい
(Radiozonde data in Surabaya)
再解析データのほうが実際に近い可能性

Satellite image



Summary

- 様々な風の影響下での噴煙挙動を3次元モデルで再現することができた
- 複数の観測データと計算結果を比較することで、噴出条件・大気条件に拘束を与えられる可能性
- Kelud 2014噴火事例
噴出率: $4 \times 10^7 \text{ kg s}^{-1}$
大気状態: 再解析データ
を与えた時に、観測量を整合的に説明する